Zeitschrift: Eclogae Geologicae Helvetiae
Herausgeber: Schweizerische Geologische Gesellschaft
Band: 45 (1952)
Heft: 1

Anhang: Tafeln
Autor: [s.n.]

Nutzungsbedingungen
Die ETH-Bibliothek ist die Anbieterin der digitalisierten Zeitschriften auf E-Periodica. Sie besitzt keine Urheberrechte an den Zeitschriften und ist nicht verantwortlich für deren Inhalte. Die Rechte liegen in der Regel bei den Herausgebern beziehungsweise den externen Rechteinhabern. Das Veröffentlichen von Bildern in Print- und Online-Publikationen sowie auf Social Media-Kanälen oder Webseiten ist nur mit vorheriger Genehmigung der Rechteinhaber erlaubt. Mehr erfahren

Conditions d'utilisation
L'ETH Library est le fournisseur des revues numérisées. Elle ne détient aucun droit d'auteur sur les revues et n'est pas responsable de leur contenu. En règle générale, les droits sont détenus par les éditeurs ou les détenteurs de droits externes. La reproduction d'images dans des publications imprimées ou en ligne ainsi que sur des canaux de médias sociaux ou des sites web n'est autorisée qu'avec l'accord préalable des détenteurs des droits. En savoir plus

Terms of use
The ETH Library is the provider of the digitised journals. It does not own any copyrights to the journals and is not responsible for their content. The rights usually lie with the publishers or the external rights holders. Publishing images in print and online publications, as well as on social media channels or websites, is only permitted with the prior consent of the rights holders. Find out more

Download PDF: 10.12.2025

ETH-Bibliothek Zürich, E-Periodica, https://www.e-periodica.ch

Erklärung zu Tafel I

Fig. 1. *Clupea sardinites* (H.) mit Anzeichen beginnender Mazeration. Wirbelsäule mehrfach gebrochen, Schuppen teilweise abgelöst und zerstreut. — 1 : 1. — Entlebuchschiefer. INr. 12. Aufnahme: H. FRÖHLICHER . . . . . S. 10, 27.

Fig. 2. *Clupea sardinites* (H.) mit hakenartig abgeknicktem Kopf. — 1 : 1. — Entlebuchschiefer. INr. 81. Aufn. H. FRÖHLICHER . . . . . S. 10, 27.

Fig. 3. *Sarda brachycephala* (LER.). — Etwa 1 : 3. — Entlebuchschiefer. INr. A2, 5, 22a, 23. Aufn.: Photo-Kulturinstitute Worms (K. FÜLLER). B = Becken; C = Caudalis; D I u. D II = erste und zweite Dorsalis; M = Magenanhang mit den Skeletten gefressener Clupeiden; V = Ventralis . . . . . S. 14.

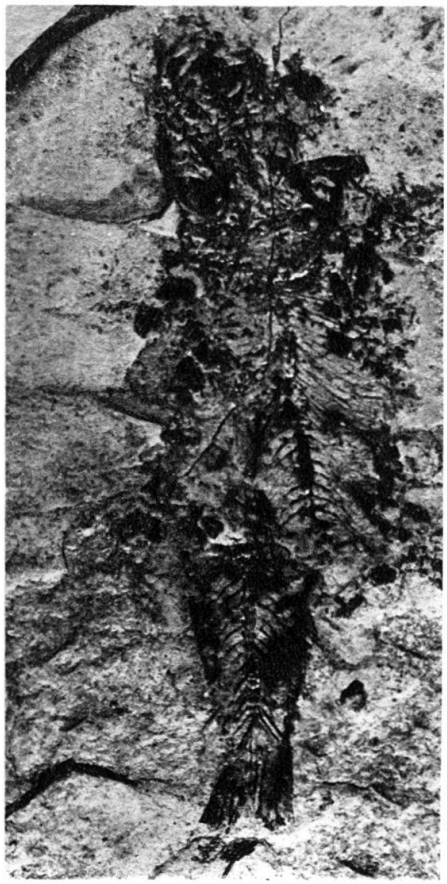

Fig. 1

Fig. 2

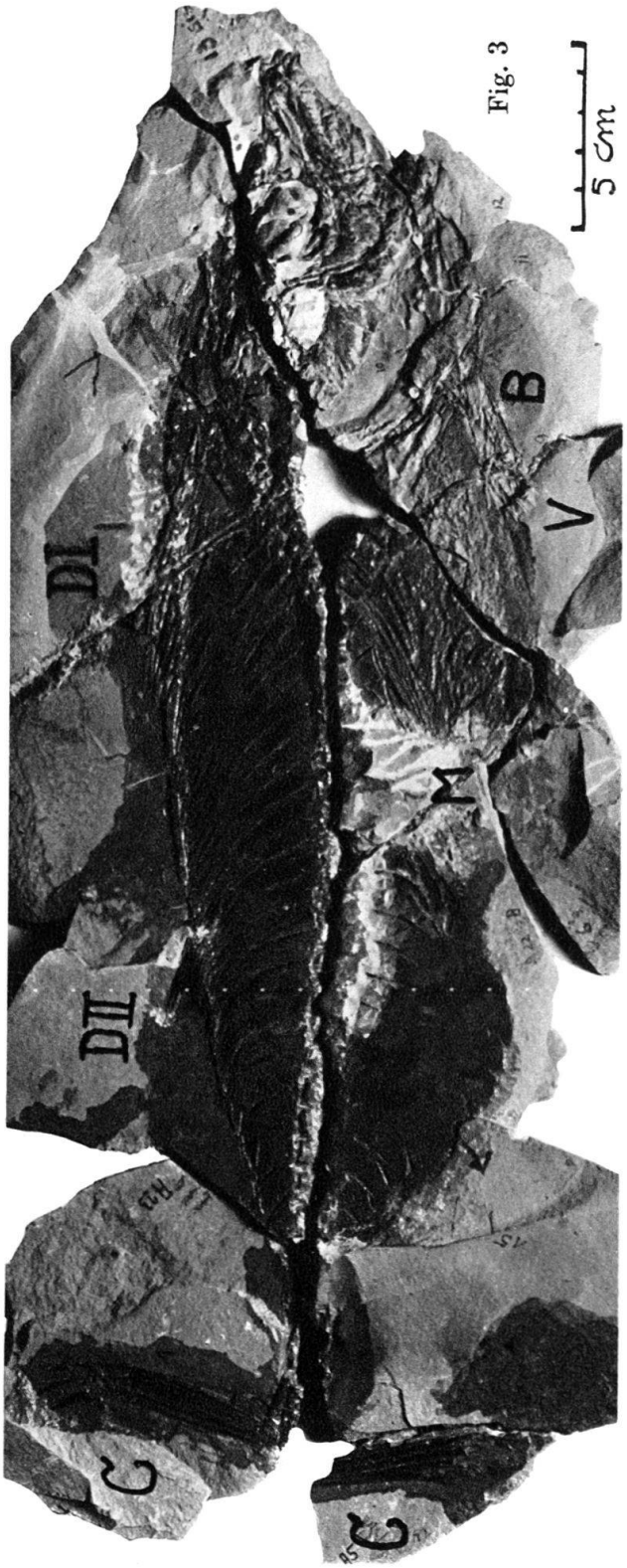

Fig. 3

Erklärung zu Tafel II

Fig. 1. *Palaeorhynchus* sp. Abdruck der Hypuralplatte mit Flossenstrahlen der Caudalis. — ca. 1 : 1. — Entlebuchschiefer. INr. 44. Hy = Abdruck der Hypuralplatte. Aufn.: H. FRÖHLICHER . . . . . S. 18.

Fig. 2. *Clupea sardinites* (H.), zerfallene Leiche. — 1 : 1. — Entlebuchschiefer. INr. A 24. Aufn.: H. FRÖHLICHER. PrOp. = Praeoperculum, daneben weitere Kopfknochen; SFl = abgelöste Schwanzflosse; SW = Ende der Schwanzwirbelsäule, von Schuppen umgeben. S. 10, 27.

Fig. 3. *Centriscus* cf. *teleajensis* (J.). — 1 : 1. — Entlebuchschiefer. INr. 1. Aufnahme: H. FRÖHLICHER . . . . . S. 20.

Fig. 4. *Cetorhinus parvus* LER. Reusenzahn. — 1 : 1. — Entlebuchschiefer. INr. 66. Aufn.: H. FRÖHLICHER . . . . . S. 10.

Fig. 5. *Alosa sculptata* W. Septarienton, Delsberger Becken. — 1,2 : 1. — Naturh. Museum Bern. Aufn.: Photo-Kulturinstitute Worms (K. FÜLLER) . . . . . S. 7.

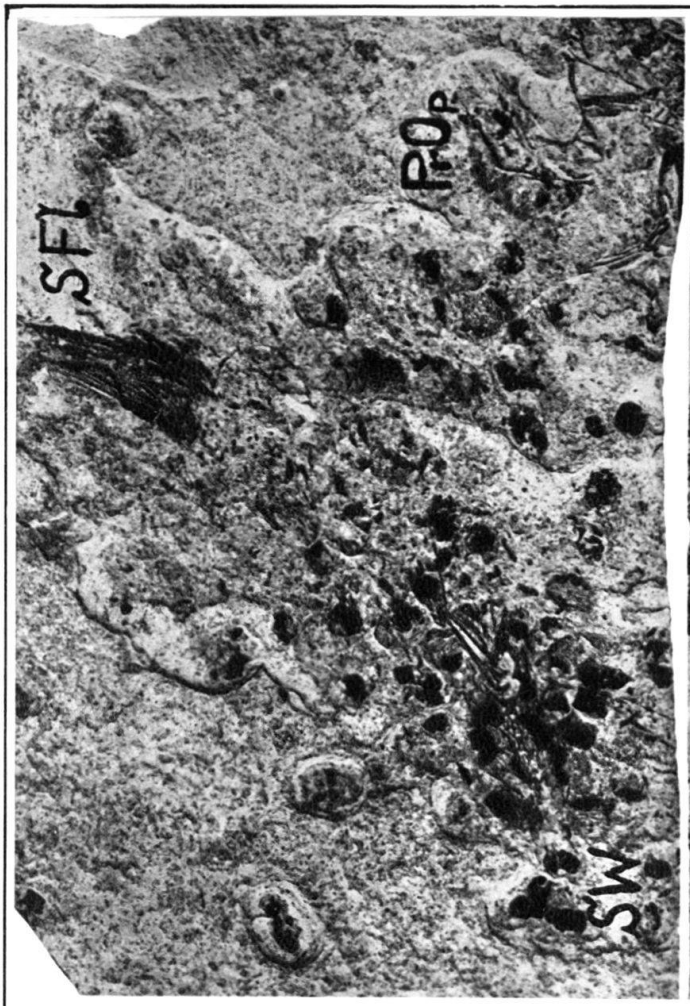

Fig. 2

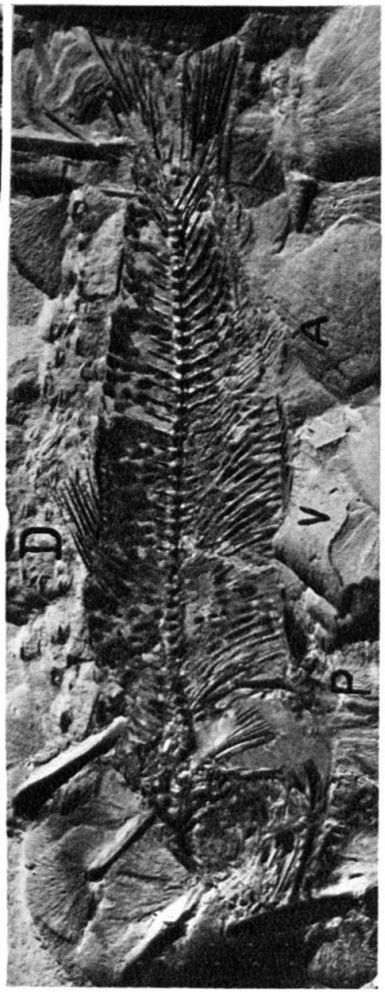

Fig. 5

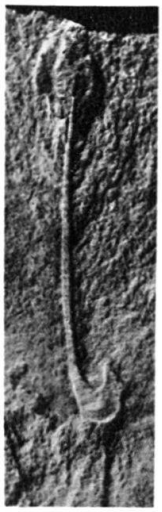

Fig. 4

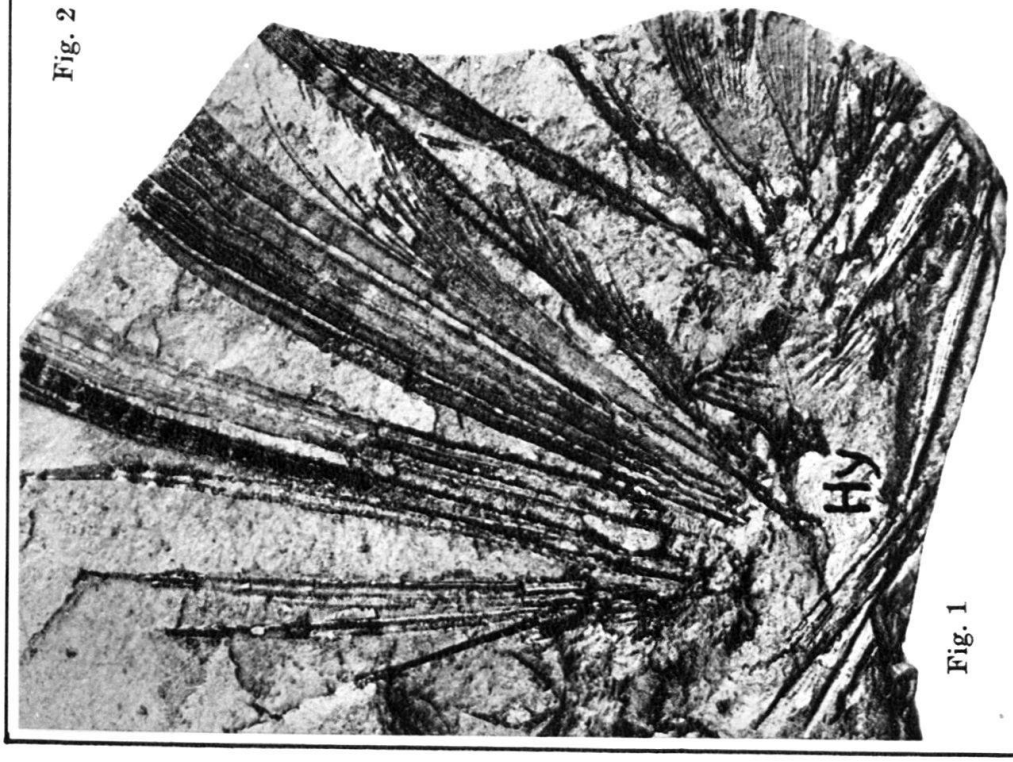

Fig. 1

Fig. 3

Erklärung zu Tafel III

Fig. 1–4. *Radiolus funginus* n. sp. Primärstacheln 68
Fig. 1a–c. Holotypus (Exemplar a). Fig. 1a und 1c. Zwei verschiedene Seitenansichten. × 1,5. – Fig. 1b. Distale Seite × 1,5.
Fig. 2a–c. Exemplar b. Peripherie an einer Stelle beschädigt. Fig. 2a. Seitenansicht × 1,5. – Fig. 2b. Distale Seite × 1,5. – Fig. 2c. Proximale Seite.
Fig. 3. Exemplar c. Rechts beschädigt. Distale Seite. × 1,6 – Fig. 4. Exemplar d. Randlich stellenweise beschädigt. Seitenansicht × 1,5.

Fig. 5. *Spirigera moluccana* n. sp. 69
Holotypus (Exemplar a). Ventralschale von innen × 5,6.

Fig. 6a–c. *Spirigera moluccana* n. sp. Exemplar b. Dorsalschale × 2,6. Fig. 6a. Von aussen. – Fig. 6b. Von innen. – Fig. 6c. Von der Seite.

Fig. 7a, b. *Spirigera moluccana* n. sp. Exemplar c. Dorsalschale. Fig. 7a. Von innen ca. × 1,5. – Fig. 7b. Von innen ca. × 6.

Fig. 8a, b. *Spirigera weberi* n. sp. 71
Holotypus. Ventralschale. Fig. 8a. Von aussen. × 1. – Fig. 8b. Von innen × 2,7.

Fig. 9. *Retzia bulaënsis* n. sp. 72
Holotypus. Dorsalschale von innen × 5,5.

Fig. 10–13. *Misolia asymmetrica* n. sp. 72
Fig. 10. Exemplar b. Ventralschale, stark inkrustiert, von aussen × 2. – Fig. 11. Exemplar c. Ventralschale, stark inkrustiert, von aussen × 2. – Fig. 12. Exemplar d. Dorsalschale von aussen × 1,8. – Fig. 13. Exemplar f. Dorsalschale von aussen × 2.

Eclogae geol. Helv.,
Vol. 45, 1952, Tafel III

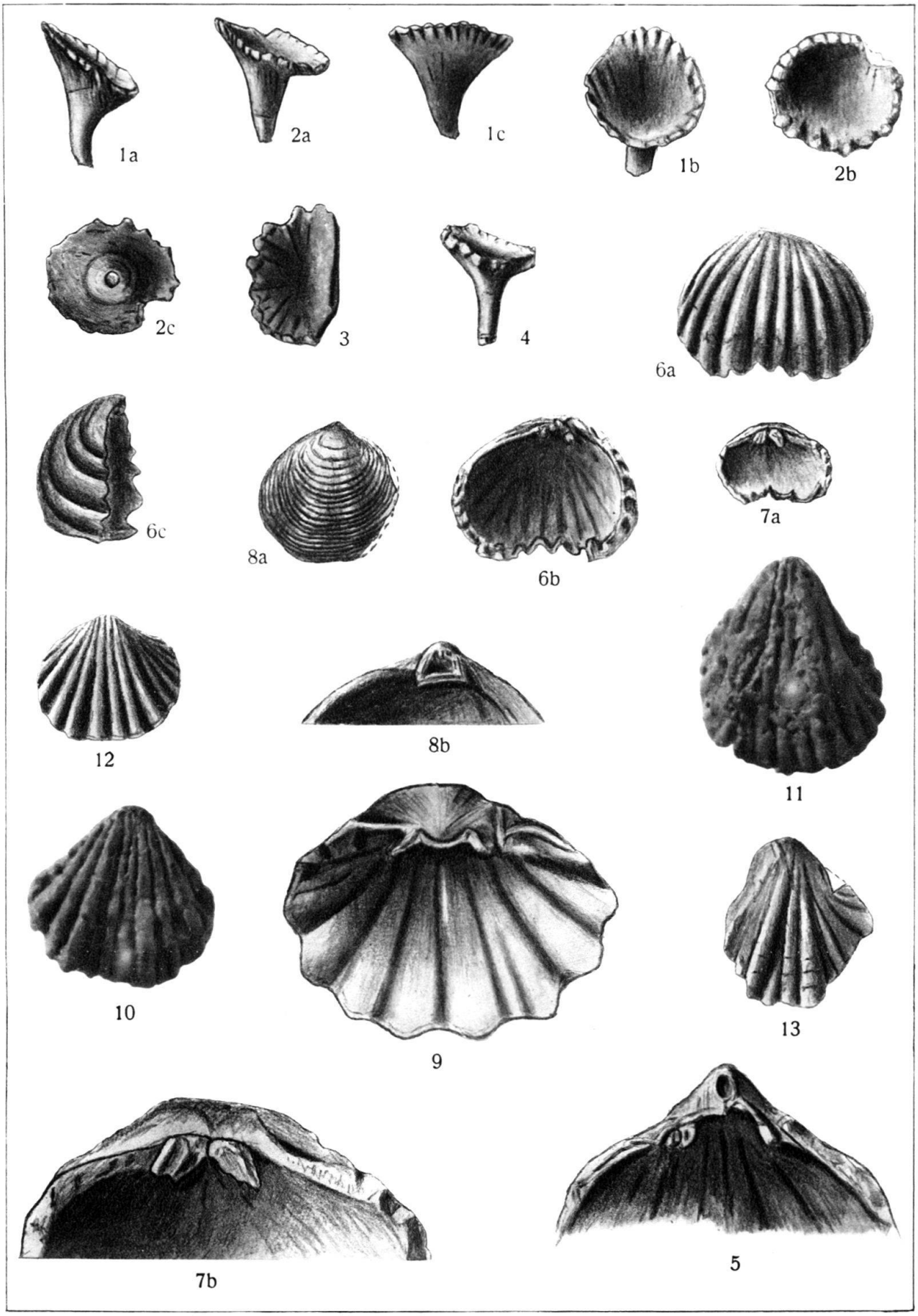

Erklärung zu Tafel IV

Fig. 1–2.	*Koninckina alfurica* WANNER	75
	Fig. 1. Dorsalschale von innen × 3,8. – Fig. 2. Dorsalschale von innen, inkrustiert, mit Resten des Armgerüstes × 3,9.	
Fig. 3–4.	*Misolia asymmetrica* n. sp.	72
	Fig. 3. Exemplar e. Dorsalschale von aussen × 2,1. – Fig. 4. Holotypus (Exemplar a). Ventralschale von aussen × 1,55.	
Fig. 5a, b.	*Spirigera moluccana* n. sp.	69
	Holotypus (Exemplar a). Ventralschale. Fig. 5a. Von aussen × 1. – Fig. 5b. Von der Seite × 3.	
Fig. 6.	*Retzia bulaënsis* n. sp.	72
	Holotypus. Dorsalschale von aussen × 2.	
Fig. 7a–d.	*Limea pusilla* n. sp. × 2,7	78
	Fig. 7a. Linke Klappe von aussen. – Fig. 7b. Linke Klappe von innen. – Fig. 7c. Rechte Klappe von aussen. – Fig. d. Rechte Klappe von innen.	
Fig. 8a, b.	*Posidonomya gibbosa* GEMMELLARO	77
	Rechte Klappe × 2,5. – Fig. 8a. Von aussen. – Fig. 8b. Von der Seite.	
Fig. 9a, b.	*Myophoria moluccana* n. sp.	79
	Holotypus × 2. Fig. 9a. Linke Klappe von aussen. – Fig. 9b. Linke Klappe von innen.	
Fig. 10.	*Avicula* ? n. sp.	75
	Linke Klappe von aussen × 2.	
Fig. 11.	*Promathidia subcancellata* MÜNSTER var. *indica* n. v.	79
	Holotypus × 3,5. Rückansicht.	
Fig. 12.	*Cycloceltites oppiani* DIENER × 1,1	81
Fig. 13.	*Sirenites* n. sp. ? × 1	81

1

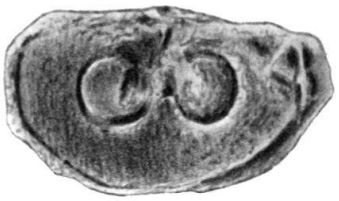
2

3

7c

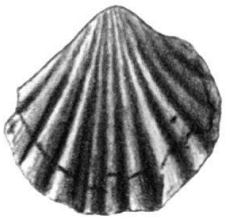
4

5a

7b

7d

7a

8b

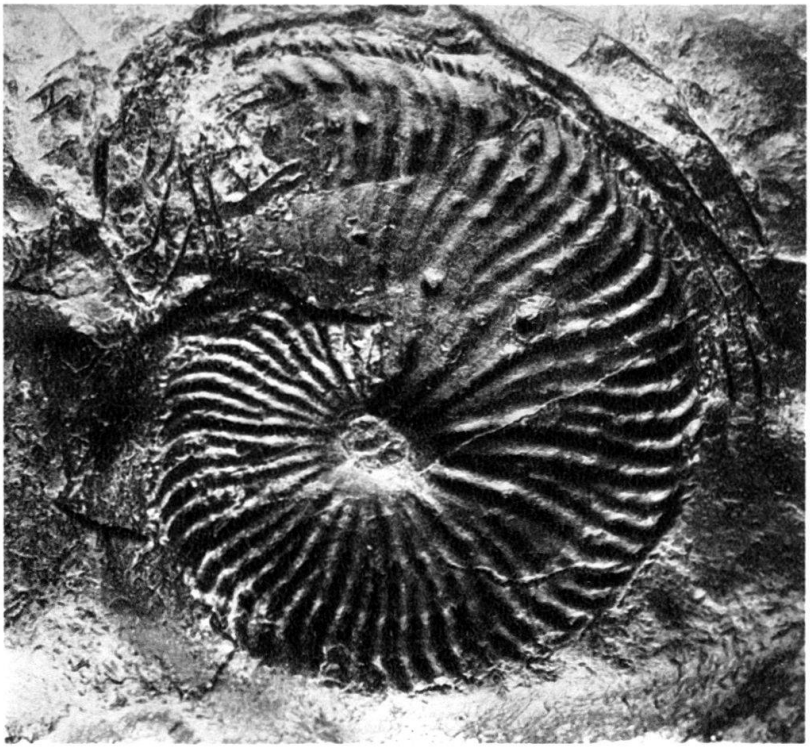
13

5b

8a

6

9a

9b

10

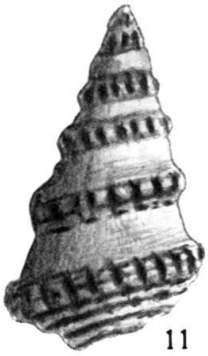
11

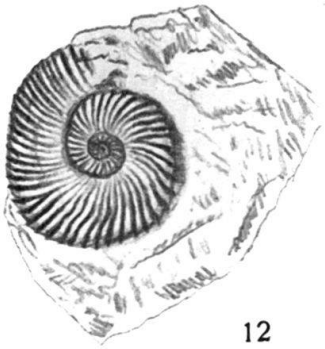
12

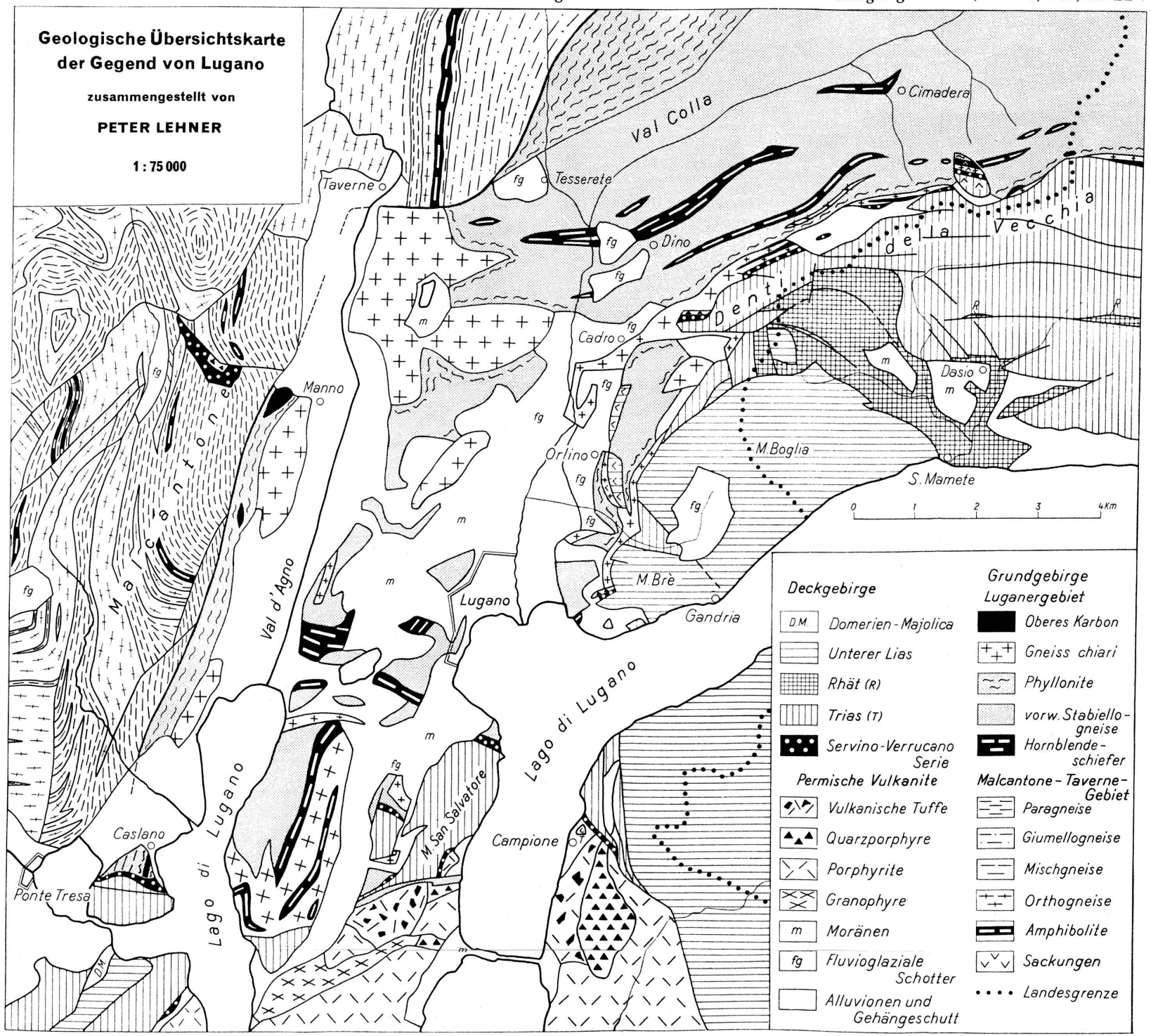
Geologische Übersichtskarte
der Gegend von Lugano
zusammengestellt von
PETER LEHNER
1 : 75 000
Val Colla
Cimadera
Tesserete
Taverne
Dino
Denti della Vecchia
Cadro
Dasio
Manno
Monte Brè
Orlino
M. Boglia
S. Mamete
M. Brè
Gandria
Lugano
Val d'Agno
Lago di Lugano
M. San Salvatore
Campione
Caslano
Ponte Tresa
0 1 2 3 4 Km
Deckgebirge
D.M. Domerien-Majolica
Unterer Lias
Rhät (R)
Trias (T)
Servino-Verrucano Serie
Permische Vulkanite
Vulkanische Tuffe
Quarzporphyre
Porphyrite
Granophyre
m Moränen
fg Fluvioglaziale Schotter
Alluvionen und Gehängeschutt
Grundgebirge
Luganergebiet
Oberes Karbon
Gneiss chiari
Phyllonite
vorw. Stabiello-gneise
Hornblende-schiefer
Malcantone-Taverne-Gebiet
Paragneise
Giumellogneise
Mischgneise
Orthogneise
Amphibolite
Sackungen
Landesgrenze

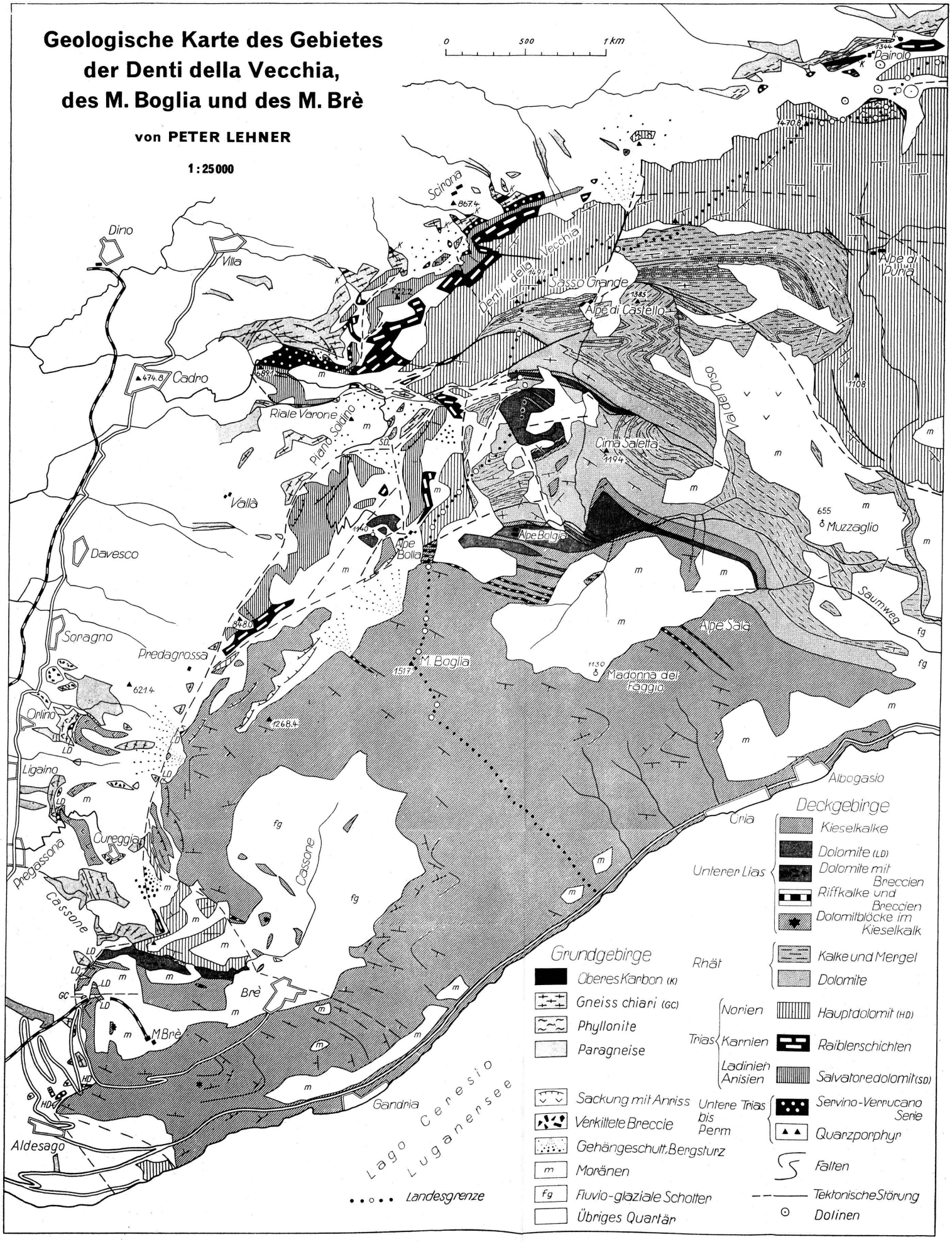
Geologische Karte des Gebietes der Denti della Vecchia, des M. Boglia und des M. Brè
von PETER LEHNER
1:25000
0 500 1 km
Dino
Villa
Cadro
Scirona
Denti della Vecchia
Sasso Grande
Alpe di Castello
Alpe di Puria
Dairolo
Riale Varone
Piano Soldino
Cima Saletta
Val dei Orso
Vallà
Davesco
Alpe Bolla
Alpe Bolgia
Muzzaglio
Saumweg
Alpe Sala
Soragno
Predagrossa
M. Boglia
Madonna del Faggio
Onlino
Ligaino
Albogasio
Cureggia
Cria
Pregassona
Cassone
Brè
M. Brè
Gandria
Lago Ceresio
Luganersee
Aldesago
Deckgebirge
Kieselkalke
Dolomite (LD)
Unterer Lias
Dolomite mit Breccien
Riffkalke und Breccien
Dolomitblöcke im Kieselkalk
Rhät
Kalke und Mergel
Dolomite
Grundgebirge
Oberes Karbon (K)
Gneiss chiari (GC)
Phyllonite
Paragneise
Trias
Norien
Hauptdolomit (HD)
Karnien
Raiblerschichten
Ladinien Anisien
Salvatoredolomit (SD)
Sackung mit Anriss
Verkittete Breccie
Gehängeschutt, Bergsturz
Untere Trias bis Perm
Servino-Verrucano Serie
Quarzporphyr
Moränen
Falten
Fluvio-glaziale Schotter
Übriges Quartär
Tektonische Störung
Dolinen
Landesgrenze

Geologische Profile durch das Gebiet der Denti della Vecchia, des M. Boglia und des M. Brè

von PETER LEHNER
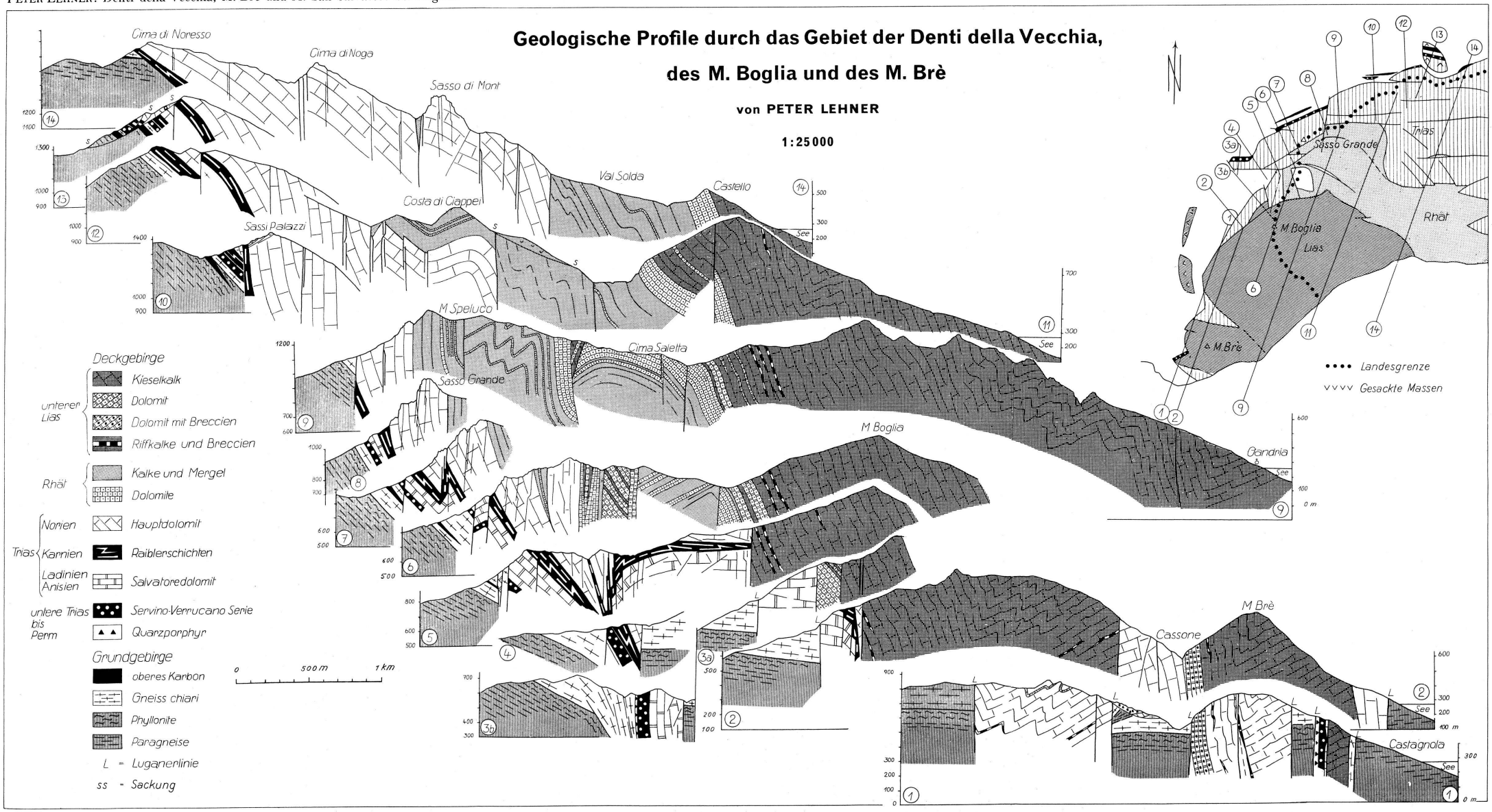
1:25000